

لهم إني
أنت معلم
أنا
أنت معلم



دانشگاه بوعلی سینا

دانشکده فنی - مهندسی

پایان نامه

برای دریافت درجه کارشناسی ارشد در رشته مهندسی مکانیک

گرایش طراحی کاربردی

I-III بررسی رشد ترک خستگی در ورقها در مود ترکیبی

استاد راهنما:

دکتر رحمن سیفی

پژوهشگر:

ناصر امیدوار قاضیانی

همه امتیازهای این پایان‌نامه به دانشگاه بوعلی سینا تعلق دارد. در صورت استفاده از تمام یا بخشی از مطالب پایان‌نامه در مجلات، کنفرانس‌ها و یا سخنرانی‌ها، باید نام دانشگاه بوعلی سینا (یا استاد یا اساتید راهنمای پایان‌نامه) و نام دانشجو با ذکر مأخذ و ضمن کسب مجوز کتبی از دفتر تحصیلات تکمیلی دانشگاه ثبت شود. در غیر این صورت مورد پیگرد قانونی قرار خواهد گرفت.



دانشگاه بعلی سینا

دانشگاه بعلی سینا

مشخصات رساله / پایان نامه

عنوان پایان نامه:

"بررسی رشد ترک خستگی در ورقها در مود ترکیبی I-III"

نام نویسنده: ناصر امیدوار قاضیانی

نام استاد راهنما: دکتر رحمن سیفی

دانشکده: فنی مهندسی

رشته تحصیلی: مکانیک

تاریخ تصویب: ۱۳۸۷/۰۷/۲۹

تعداد صفحات:

تاریخ دفاع:

۱۸۳

چکیده:

در این تحقیق به بررسی عددی و تحریکی رشد ترک خستگی تحت مود ترکیبی I-III در ورق با ترک لبه‌ای از جنس آلیاژ آلومینیوم ۷۰۱۷ پرداخته شده است. پارامترهای متغیر، زاویه اولیه (۰, ۳۰, ۴۵, ۶۰)، طول ترک اولیه (۱۰mm و 20mm)، ضخامت نمونه (4mm و 8mm) و نسبت بارگذاری ($R=0.2$ و $R=0.01$) می‌باشد. تاثیر تغییر این پارامترها بر رشد ترک خستگی در حالت‌های مختلف در ورق به صورت کمی، مورد بررسی قرار گرفت و با نتایج آزمایشگاهی مقایسه شده است. برای برخی از حالت‌های فوق مسیرها و صفحات رشد ترک، منحنی‌های مقادیر افزایش طول ترک و تغییرات زوایای ترک در زمان رشد، منحنی‌های ضرایب شدت تنش در هر سه مود شکست (K_I, K_{II}, K_{III}) و ضریب شدت تنش موثر (K_{eff}) در مراحل مختلف رشد و نمودارهای تعداد سیکلهای بارگذاری بر حسب تغییرات طول ترک نسبت به حالت اولیه با استفاده از نرم افزار FRANC3D بدست آمد و با نتایج تحریکی بدست آمده از آزمایش مقایسه شده و انطباق خوبی مشاهده شده است. با افزایش زاویه اولیه ترک اثر مود III افزایش و اثر مود I کاهش می‌یابد. در بیشتر موارد اثر مود II شکست در مقابل دو مود دیگر قابل صرفنظر کردن است. در تمامی حالات فوق مشاهده شد که با افزایش طول ترک در زاویه یکسان و با کاهش زاویه اولیه در طول ترک یکسان، عمر رشد ترک خستگی کاهش می‌یابد. در مراحل مختلف رشد ترک، با افزایش طول ترک در حین رشد زاویه ترک کاهش می‌یابد. با کاهش ضخامت نمونه مقادیر ضریب شدت تنش افزایش یافته و با افزایش نسبت بارگذاری مقادیر آن کاهش می‌یابد. همچنین در تمام نمونه‌ها ترک در جهتی رشد می‌کند که مود I شکست غالب شود (مسیر رشد ترک به صورت عمود بر جهت بارگذاری قرار می‌گیرد). نتایج آزمایش بخوبی نشان دهنده این مطلب است و انطباق خوبی با نتایج عددی دارد.

کلمات کلیدی:

مود ترکیبی I-III - ضریب شدت تنش - ورق با ترک لبه‌ای - مسیر رشد ترک - صفحات ترک - عمر رشد ترک خستگی - آلومینیوم ۷۰۱۷

حاصل نزد این تحقیق (۱۵ گوشه‌ای از تلاش من است، به برترینهای زندگیم تقدیم می‌کنم.

تقدیم به:

پدر بزرگوار

که لحظه لحظه زیستنم را در سایه بزرگواری و دانایی‌اش آسوده
و وجود پر افتخارش سایه‌ایست جاودانه بر فراز سر بلندیهای من

۹

مادر مهربانم

که مفهوم بیدریخ مهربانی و صداقت است.
او که دلخوشی‌های امروزه را مدیون دلواپسی‌های همیشگی‌اش هستم.

در آغاز لازه می‌دانم از زهمات پدر و مادر گرامی‌ام و کلیه کسانی که در دوران تحقیق همواره مشوق و پشتیبان اینجا نب بوده‌اند کمال تشكیر را بنمایم.

همچنین از زهمات استاد اجمانده جناب آقا دکتر (همن سیفی

که همواره در مراحل انجام پژوهش و در طول دوران تحقیق از (اهنگ‌ها) و محبت‌های ارزنده ایشان برخوردار بوده‌ام، به خاطر تمامی لطف‌ها، (اهنگ‌ها) و محبت‌های ایشان کمال تشكیر و سپاس را دارم.

ناصر امیدوار

بهمن ماه ۱۳۸۹

فهرست مطالب

عنوان	صفحة
فصل اول: مقدمه	۱
فصل دوم: مروری بر تحقیقات	۶
فصل سوم: تئوری مکانیک شکست و خستگی	۱۳
۱-۳ مکانیک شکست	۱۴
۲-۳ مودهای ماکروسکوپیک شکست	۱۵
۳-۳ شکست ترد و شکست نرم	۱۵
۴-۳ مکانیک شکست الاستیک خطی	۱۷
۱-۴-۳ چرمه‌گی شکست	۱۸
۲-۴-۳ میدان تنش و جابه جایی درنوك ترك	۱۹
۳-۴-۳ ضرایب شدت تنش (SIF)	۲۱
۴-۴-۳ محاسبه ضریب شدت تنش	۲۱
۵-۴-۳ اثر اندازه محدود سازی	۲۲
۵-۳ تصحیح ناحیه پلاستیک	۲۴
۶-۳ مکانیک شکست الاستو- پلاستیک	۲۷
۷-۳ خستگی	۳۲
۱-۷-۳ شکست ناشی از خستگی	۳۳
۲-۷-۳ حالت های رشد ترك خستگی	۳۳
۳-۷-۳ انواع بارگذاری خستگی	۳۴
۱-۳-۷-۳ بارگذاری با بزرگی ثابت	۳۴
۲-۳-۷-۳ بارگذاری با دامنه متغیر	۳۵
۴-۷-۳ رشد ترك ناشی از خستگی	۳۶
۵-۷-۳ مدل‌های پیش بینی عمر خستگی برای بارگذاری با دامنه ثابت	۳۸
۱-۵-۷-۳ مدل پاریس	۴۰
۲-۵-۷-۳ مدل والکر	۴۰

۴۱ مدل فورمن ۳-۵-۷-۳
۴۲ ۴-۵-۷-۳ مدل اصلاح شده فورمن
۴۳ فصل چهارم: معیارهای شکست و خواص مکانیکی مواد
۴۴ ۴-۱ معیارهای شکست مکانیک در قطعات ترکدار تحت بارگذاری مود I
۴۴ ۴-۱-۱ نظریه تنش
۴۴ ۴-۱-۲ نظریه انرژی
۴۵ ۴-۲ معیارهای شکست در حالت بارگذاری مود ترکیبی
۴۵ ۴-۲-۱ معیار ماکزیمم تنش مماسی (MTS)
۴۶ ۴-۲-۲ معیار بیشترین تنش نرمال (MNS)
۴۷ ۴-۲-۳ معیار کمترین چگالی انرژی کرنشی (SED)
۴۹ ۴-۲-۴ معیار بیشترین نرخ رها سازی انرژی (G_{max})
۵۲ ۴-۲-۵ معیارهای دیگر
۵۲ ۴-۳ معیارهای شکست برای بارگذاری مود ترکیبی I-III
۵۸ ۴-۴ خواص مکانیکی مواد
۵۸ ۴-۴-۱ منحنی تنش-کرنش
۶۰ ۴-۴-۲ اثر باشینگر
۶۱ ۴-۴-۳ ارائه مدل‌های ساده از رفتار پلاستیک
۶۲ ۴-۴-۴ مباحث مقدماتی
۶۲ ۴-۴-۵ روابط الاستیک - کاملاً پلاستیک
۶۳ ۴-۴-۶ روابط الاستیک - سخت شوندگی خطی
۶۳ ۴-۴-۷ روابط الاستیک - سخت شوندگی نمایی
۶۵ فصل پنجم: انجام آزمایش
۶۶ ۱-۵ مقدمه
۶۶ ۲-۵ دستگاه آزمایش
۶۹ ۳-۵ فیکسچر
۶۹ ۴-۵ خصوصیات ماده نمونه آزمایش
۷۲ ۵-۵ شکل هندسی نمونه آزمایش
۷۲ ۶-۵ ساخت نمونه بدون ترک

۷۲	برشکاری ۱-۶-۵
۷۳	۲-۶-۵ ماشین کاری
۷۳	۳-۶-۵ سوراخ کاری
۷۴	۷-۵ شکل هندسی ترک
۷۸	۸-۵ آماده سازی نمونه برای انجام آزمایش
۷۸	۹-۵ انجام آزمایش
۸۱	۱۰-۵ نتایج آزمایش
۹۱	فصل ششم: مدل سازی و تحلیل با نرم افزار FRANC3D
۹۲	۱-۶ مقدمه
۹۲	۲-۶ مشخصات نرم افزار FRANC3D
۹۳	۳-۶ ارزیابی دقت نتایج مدلسازی نرم افزار FRANC3D
۹۵	۴-۶ مزایا و معایب نرم افزار FRANC3D
۹۵	۱-۴-۶ مزایای نرم افزار FRANC3D
۹۶	۲-۴-۶ معایب نرم افزار FRANC3D
۹۶	۵-۶ ایجاد هندسه نمونه در نرم افزار OSM
۹۹	۶-۶ ایجاد ترک در مدل
۱۰۰	۷-۶ تعریف المان های پیشانی ترک
۱۰۳	۸-۶ المان بندی مدل
۱۰۶	۹-۶ تعریف خواص ماده
۱۰۶	۱۰-۶ اعمال شرایط مرزی
۱۱۰	۱۱-۶ تحلیل با نرم افزار FRANC3D
۱۱۳	۱-۱۱-۶ مدل ضریب تمرکز تنش موثر
۱۱۷	۲-۱۱-۶ استخراج مقادیر شدت تنش و رشد ترک
۱۲۹	۳-۱۱-۶ استخراج مقادیر ضریب شدت تنش موثر
۱۳۳	۴-۱۱-۶ تعیین تعداد سیکل های بارگذاری
۱۳۶	۵-۱۱-۶ استخراج مقادیر شدت تنش برای نمونه ها با نسبت بارگذاری $R=0.2$
۱۴۰	۶-۱۱-۶ استخراج مقادیر شدت تنش و رشد ترک برای نمونه ها ضخامت ۴ میلیمتر

۱۴۶.....	فصل هفتم: مقایسه و نتیجه گیری
۱۴۷.....	۱-۷ مقدمه
۱۴۷.....	۲-۷ بررسی زوایای شکست
۱۴۷.....	۱-۲-۷ نتایج عددی
۱۴۸.....	۲-۲-۷ نتایج تجربی
۱۴۹.....	۳-۷ بررسی مسیر رشد ترک
۱۵۵.....	۴-۷ بررسی صفحات ترک
۱۶۲.....	۵-۷ مقایسه نتایج تجربی و عددی تعداد سیکل ها و تغییر طول ترک
۱۶۵.....	۶-۷ بررسی تاثیر تغییر ضخامت و نسب بارگذاری در مقادیر ضریب تمکز تنش
۱۵۳.....	۷-۷ نتیجه گیری
۱۵۴.....	۸-۷ پیشنهادهایی برای ادامه کار
۱۷۲.....	پیوست ها
۱۷۳.....	پیوست (آ).
۱۷۶.....	پیوست (ب).
۱۷۹.....	منابع و مراجع

فهرست اشکال

صفحه

عنوان

..... ۸	شكل(۱-۲) مشخصات نمونه و دستگاه بکار رفته برای اعمال بار پیچشی و خمشی
..... ۹	شكل(۲-۲) نمودار افزایش طول ترک بر حسب تعداد سیکل اعمال بار
..... ۱۵	شكل(۱-۳) سه مود اصلی شکست: (a) بازشوندگی کششی(مودI)(b) لغزش داخل صفحه ای(مودII) (c) برش خارج صفحه-ای(مودIII)
..... ۱۶	شكل(۲-۳) نمایی از سطح شکست ترد
..... ۱۷	شكل (۳-۳) نمایی از سطح شکست نرم
..... ۱۸	شكل (۴-۳) شرایطی که تحت آن LEFM صادق است (a) یا صادق نمی باشد (b، c و d)
..... ۱۹	شكل (۵-۳) اثر ضخامت بر سختی شکست
..... ۲۰	شكل (۶-۳) نمایش دستگاه مختصات استوانه ای بر روی جبهه ترک
..... ۲۳	شكل (۷-۳) مقادیر f(a/W) برای نمونه های استاندارد
..... ۲۴	شكل (۸-۳) شکل دیگری از مقادیر f(a/W) برای نمونه های استاندارد
..... ۲۵	شكل (۹-۳) تخمین اندازه ناحیه پلاستیک
..... ۲۹	شكل (۱۰-۳) نمودارهای انرژی در تحلیل مسایل شکست
..... ۳۴	شكل (۱۱-۳) حالت های مختلف رشد ترک خستگی
..... ۳۴	شكل (۱۲-۳) بارگذاری با دامنه ثابت
..... ۳۶	شكل (۱۳-۳) بارگذاری (آ) متناوب، (ب) نیمه تصادفی، (پ) کاملاً تصادفی
..... ۳۷	شكل (۱۴-۳) شمای افزایش منحنی رشد ترک براساس محدوده تغییرات تنش وارد
..... ۳۹	شكل (۱۵-۳) منحنی رشد ترک خستگی در مقابل تغییرات ضرباب شدت تنش
..... ۵۴	شكل (۱-۴) نمایش تنشهای در سیستم مختصات استوانه ای موجود در نوک ترک
..... ۵۵	شكل (۲-۴) تنش های نرمال و برشی در صفحه Z - Z θ
..... ۵۹	شكل(۳-۴) منحنی تنش - کرنش در بارگذاری تک محوره برای دو نوع ماده (الف) فولاد (ب) آلمینیوم
..... ۶۰	شكل (۴-۴) اثر باشینگر در بارگذاری تنابوی
..... ۶۲	شكل (۵-۴) پاسخ تنش - کرنش در ۲۰ سیکل برای نوعی از آلمینیوم
..... ۶۳	شكل (۶-۴) منحنی تنش-کرنش برای الف: رفتار الاستیک- تمام پلاستیک ب: رفتار الاستیک- سخت شوندگی خطی پلاستیک
..... ۶۴	شكل (۷-۴) منحنی تنش-کرنش در مختصات خطی و لگاریتمی
..... ۶۷	شكل (۱-۵) دستگاه اینسترون
..... ۶۹	شكل (۲-۵) نماهای مختلف از فیکسچرها
..... ۷۱	شكل (۳-۵) نمودار تنش - کرنش آلمینیوم
..... ۷۲	شكل (۴-۵) ابعاد هندسی نمونه آزمایش (ابعاد به میلیمتر)
..... ۷۳	شكل(۵-۵) دستگاه فرز دستی
..... ۷۳	شكل (۶-۵) دستگاه پرس فرز CNC
..... ۷۵	شكل(۷-۵) (a) نمونه ۰°، (b) نمونه 30°، (c) نمونه 45°، (d) نمونه 60°
..... ۷۶	شكل (۸-۵) دستگاه واپرکات سی ان سی
..... ۷۷	شكل (۹-۵) تصاویری از نمونه های ساخته شده
..... ۷۸	شكل (۱۰-۵) نمونه های آماده شده
..... ۷۹	شكل (۱۱-۵) نحوه قرار گرفتن نمونه در فیکسچر
..... ۷۹	شكل (۱۲-۵) چگونگی قرار گیری نمونه آزمایش در دستگاه اینسترون
..... ۸۰	شكل (۱۳-۵ a) نمایی از نمونه در حال آزمایش

۸۱ شکل (۵-۱۳) رشد ترک حین آزمایش
۸۱ شکل (۵-۱۴) بزرگنمایی رشد ترک حین آزمایش
۸۳ شکل (۱۴-۵) نتایج تجربی منحنی N-a نمونه های با طول ترک ۲۰mm و زوایای مختلف
۸۴ شکل (۱۵-۵) نتایج تجربی منحنی N-a برای دو نمونه با زاویه 60° و طول ترک ۲۰mm و ۱۰mm
۸۴ شکل (۱۶-۵) نتایج تجربی منحنی N-a برای دو نمونه با زاویه 60° و طول ترک ۲۰mm و ۱۰mm
۸۵ شکل (۱۷-۵) نمایی از سطوح شکست و مسیر رشد ترک در دو وجه نمونه با طول ترک اولیه ۲۰mm و زاویه 0°
۸۶ شکل (۱۸-۵) نمایی از سطوح شکست و مسیر رشد ترک در دو وجه نمونه با طول ترک اولیه ۲۰mm و زاویه 30°
۸۷ شکل (۱۹-۵) نمایی از سطوح شکست و مسیر رشد ترک در دو وجه نمونه با طول ترک اولیه ۲۰mm و زاویه 45°
۸۸ شکل (۲۰-۵) نمایی از سطوح شکست و مسیر رشد ترک در دو وجه نمونه با طول ترک اولیه ۲۰mm و زاویه 60°
۸۹ شکل (۱۹-۵) نمایی از سطوح شکست و مسیر رشد ترک در دو وجه نمونه با طول ترک اولیه ۱۰mm و زاویه 45°
۹۰ شکل (۲۱-۵) نمایی از سطوح شکست و مسیر رشد ترک در دو وجه نمونه با طول ترک اولیه ۱۰mm و زاویه 60°
۹۳ شکل (۱-۶) : شکل ترک در مسئله
۹۴ شکل (۲-۶): المان بندی سطح ترک مسئله ارزیابی
۹۷ شکل (۳-۶) مدل اولیه بدون ترک ساخته شده در نرم افزار OSM
۹۸ شکل (۴-۶) مدل نهایی بدون ترک ساخته شده در نرم افزار OSM
۹۹ شکل (۵-۶) شکل ترک در مدل
۱۰۰ شکل (۶-۶): مدل ترکدار ساخته شده در نرم افزار FRANC3D با زاویه 45° درجه
۱۰۱ شکل (۷-۶) نحوه ایجاد المان سینگولار
۱۰۱ شکل (۸-۶) المان های سینگولار دو بعدی در نوک ترک
۱۰۲ شکل (۹-۶) المان های سینگولار سه بعدی در پیشانی ترک [۵۱]
۱۰۲ شکل (۱۰-۶) المان های سینگولار سه بعدی ایجاد شده در پیشانی ترک در نرم افزار FRANC3D
۱۰۴ شکل (۱۱-۶): نمایی از المان بندی سطح ترک
۱۰۵ شکل (۱۲-۶) نمایی از مدل مش بندی شده در نرم افزار FRANC3D
۱۰۶ شکل (۱۳-۶) تعریف خواص ماده در نرم افزار FRANC3D
۱۰۷ شکل (۱۴-۶) روشهای اعمال بارگذاری
۱۱۰ شکل (۱۵-۶) نمایی از سطوح بارگذاری شده
۱۱۱ شکل (۱۶-۶) مدل های رشد ترک در نرم افزار FRANC3D
۱۱۲ شکل (۱۷-۶) مدل بیشترین ضریب شدت تنش مود I برای گسترش ترک
۱۱۲ شکل (۱۸-۶) مدل نرخ ضریب شدت تنش مود I برای گسترش ترک
۱۱۳ شکل (۱۹-۶) مدل ضریب شدت تنش موثر برای گسترش ترک
۱۱۴ شکل (۲۰-۶) مدل ضریب شدت تنش موثر برای گسترش ترک
۱۱۴ شکل (۲۱-۶) تغییرات ضریب گسترش در پیشانی ترک در مراحل مختلف برای ترک با زاویه 0° و طول ۱۰mm
۱۱۵ شکل (۲۲-۶) تغییرات ضریب گسترش در پیشانی ترک در مراحل مختلف برای ترک با زاویه 30° و طول ۱۰mm
۱۱۵ شکل (۲۳-۶) تغییرات ضریب گسترش در پیشانی ترک در مراحل مختلف برای ترک با زاویه 45° و طول ۱۰mm
۱۱۵ شکل (۲۴-۶) تغییرات ضریب گسترش در پیشانی ترک در مراحل مختلف برای ترک با زاویه 60° و طول ۱۰mm
۱۱۶ شکل (۲۵-۶) تغییرات ضریب گسترش در پیشانی ترک در مراحل مختلف برای ترک با زاویه 0° و طول ۲۰mm
۱۱۶ شکل (۲۶-۶) تغییرات ضریب گسترش در پیشانی ترک در مراحل مختلف برای ترک با زاویه 30° و طول ۲۰mm
۱۱۶ شکل (۲۷-۶) تغییرات ضریب گسترش در پیشانی ترک در مراحل مختلف برای ترک با زاویه 45° و طول ۲۰mm
۱۱۷ شکل (۲۸-۶) تغییرات ضریب گسترش در پیشانی ترک در مراحل مختلف برای ترک با زاویه 60° و طول ۲۰mm
۱۱۸ شکل (۲۹-۶) نمایش مراحل رشد ترک
۱۱۸ شکل (۳۰-۶) نمودار تغییرات طول پیش ترک در حین رشد ترک برای طول پیش ترک 10mm
۱۱۹ شکل (۳۱-۶) نمودار تغییرات طول پیش ترک در حین رشد ترک برای طول پیش ترک 20mm
۱۱۹ شکل (۳۲-۶) نمودار تغییرات مساحت سطح ترک در حین رشد ترک برای طول پیش ترک 10mm
۱۲۰ شکل (۳۳-۶) نمودار تغییرات مساحت سطح ترک در حین رشد ترک برای طول پیش ترک 10mm

..... ۱۳۹ شکل (۷۸-۶) ضرایب شدت تنش برای مود I در حالت 60° با طول ترک 20mm
..... ۱۳۹ شکل (۷۹-۶) ضرایب شدت تنش برای مود II در حالت 60° با طول ترک 20mm
..... ۱۴۰ شکل (۸۰-۶) ضرایب شدت تنش برای مود III در حالت 60° با طول ترک 20mm
..... ۱۴۰ شکل (۸۱-۶) ضرایب شدت تنش برای مود I در حالت 45° با طول ترک 4mm و ضخامت 10mm
..... ۱۴۱ شکل (۸۲-۶) ضرایب شدت تنش برای مود II در حالت 45° با طول ترک 4mm و ضخامت 10mm
..... ۱۴۱ شکل (۸۳-۶) ضرایب شدت تنش برای مود III در حالت 45° با طول ترک 4mm و ضخامت 10mm
..... ۱۴۱ شکل (۸۴-۶) ضرایب شدت تنش برای مود I در حالت 60° با طول ترک 4mm و ضخامت 10mm
..... ۱۴۲ شکل (۸۵-۶) ضرایب شدت تنش برای مود II در حالت 60° با طول ترک 4mm و ضخامت 10mm
..... ۱۴۲ شکل (۸۶-۶) ضرایب شدت تنش برای مود III در حالت 60° با طول ترک 4mm و ضخامت 10mm
..... ۱۴۲ شکل (۸۷-۶) ضرایب شدت تنش برای مود I در حالت 45° با طول ترک 20mm و ضخامت 4mm
..... ۱۴۳ شکل (۸۸-۶) ضرایب شدت تنش برای مود II در حالت 45° با طول ترک 20mm و ضخامت 4mm
..... ۱۴۳ شکل (۸۹-۶) ضرایب شدت تنش برای مود III در حالت 45° با طول ترک 20mm و ضخامت 4mm
..... ۱۴۳ شکل (۹۰-۶) ضرایب شدت تنش برای مود I در حالت 60° با طول ترک 20mm و ضخامت 4mm
..... ۱۴۴ شکل (۹۱-۶) ضرایب شدت تنش برای مود II در حالت 60° با طول ترک 20mm و ضخامت 4mm
..... ۱۴۵ شکل (۹۲-۶) ضرایب شدت تنش برای مود III در حالت 60° با طول ترک 4m و ضخامت 20mm
..... ۱۴۷ شکل (۱-۷) نمودار تغییرات زاویه ترک در حال رشد برای زوایای مختلف پیش ترک با طول اولیه 10 mm
..... ۱۴۸ شکل (۲-۷) نمودار تغییرات زاویه ترک در حال رشد برای زوایای مختلف پیش ترک با طول اولیه 20 mm
..... ۱۴۹ شکل (۳-۷) نمایی از نحوه بدست آوردن زاویه رشد ترک توسط نرم افزار DigitizeIt
..... ۱۵۰ شکل (۴-۷) مقایسه مسیر رشد ترک با طول پیش ترک 20mm و زاویه 0°
..... ۱۵۱ شکل (۵-۷) مقایسه مسیر رشد ترک با طول پیش ترک 20mm و زاویه 30°
..... ۱۵۲ شکل (۶-۷) مقایسه مسیر رشد ترک با طول پیش ترک 20mm و زاویه 45°
..... ۱۵۳ شکل (۷-۷) مقایسه مسیر رشد ترک با طول پیش ترک 20mm و زاویه 60°
..... ۱۵۴ شکل (۸-۷) مقایسه مسیر رشد ترک با طول پیش ترک 10mm و زاویه 45°
..... ۱۵۵ شکل (۹-۷) مقایسه مسیر رشد ترک با طول پیش ترک 10mm و زاویه 60°
..... ۱۵۶ شکل (۱۰-۷) مقایسه صفحه رشد ترک با طول پیش ترک 20mm و زاویه 0°
..... ۱۵۷ شکل (۱۱-۷) مقایسه صفحه رشد ترک با طول پیش ترک 20mm و زاویه 30°
..... ۱۵۸ شکل (۱۲-۷) مقایسه صفحه رشد ترک با طول پیش ترک 20mm و زاویه 45°
..... ۱۵۹ شکل (۱۳-۷) مقایسه صفحه رشد ترک با طول پیش ترک 20mm و زاویه 60°
..... ۱۶۰ شکل (۱۴-۷) مقایسه صفحه رشد ترک با طول پیش ترک 10mm و زاویه 45°
..... ۱۶۱ شکل (۱۵-۷) مقایسه صفحه رشد ترک با طول پیش ترک 10mm و زاویه 60°
..... ۱۶۲ شکل (۱۶-۷) مقایسه نتایج عددی و تجربی تعداد سیکل بر حسب افزایش طول ترک برای ترک 0° با طول اولیه 20mm
..... ۱۶۳ شکل (۱۷-۷) مقایسه نتایج عددی و تجربی تعداد سیکل بر حسب افزایش طول ترک برای ترک 30° با طول اولیه 20mm
..... ۱۶۴ شکل (۱۸-۷) مقایسه نتایج عددی و تجربی تعداد سیکل بر حسب افزایش طول ترک برای ترک 45° با طول اولیه 20mm
..... ۱۶۴ شکل (۱۹-۷) مقایسه نتایج عددی و تجربی تعداد سیکل بر حسب افزایش طول ترک برای ترک 60° با طول اولیه 20mm
..... ۱۶۴ شکل (۲۰-۷) مقایسه نتایج عددی و تجربی تعداد سیکل بر حسب افزایش طول ترک برای ترک 60° با طول اولیه 10mm
..... ۱۶۵ شکل (۲۱-۷) مقایسه نتایج عددی و تجربی تعداد سیکل بر حسب افزایش طول ترک برای ترک 60° با طول اولیه 10mm
..... ۱۶۶ شکل (۲۲-۷) مقایسه مقادیر ضریب شدت تنش متوسط K_I برای حالت‌های مختلف در ترک 45° با طول اولیه 10mm

..... ۱۶۶ شکل (۲۳-۷) مقایسه مقادیر ضریب شدت تنش متوسط K_{II} برای حالت‌های مختلف در ترک 45° با طول اولیه 10mm
..... ۱۶۶ شکل (۲۴-۷) مقایسه مقادیر ضریب شدت تنش متوسط K_{III} برای حالت‌های مختلف در ترک 45° با طول اولیه 10mm
..... ۱۶۷ شکل (۲۵-۷) مقایسه مقادیر ضریب شدت تنش متوسط K_I برای حالت‌های مختلف در ترک 60° با طول اولیه 10mm
..... ۱۶۷ شکل (۲۶-۷) مقایسه مقادیر ضریب شدت تنش متوسط K_{II} برای حالت‌های مختلف در ترک 60° با طول اولیه 10mm
..... ۱۶۸ شکل (۲۷-۷) مقایسه مقادیر ضریب شدت تنش متوسط K_{III} برای حالت‌های مختلف در ترک 60° با طول اولیه 10mm
..... ۱۶۸ شکل (۲۸-۷) مقایسه مقادیر ضریب شدت تنش متوسط K_I برای حالت‌های مختلف در ترک 45° با طول اولیه 20mm
..... ۱۶۸ شکل (۲۹-۷) مقایسه مقادیر ضریب شدت تنش متوسط K_{II} برای حالت‌های مختلف در ترک 45° با طول اولیه 20mm
..... ۱۶۹ شکل (۳۰-۷) مقایسه مقادیر ضریب شدت تنش متوسط K_{III} برای حالت‌های مختلف در ترک 45° با طول اولیه 20mm
..... ۱۶۹ شکل (۲۵-۷) مقایسه مقادیر ضریب شدت تنش متوسط K_I برای حالت‌های مختلف در ترک 60° با طول اولیه 20mm
..... ۱۶۹ شکل (۲۶-۷) مقایسه مقادیر ضریب شدت تنش متوسط K_{II} برای حالت‌های مختلف در ترک 60° با طول اولیه 20mm
..... ۱۶۹ شکل (۲۷-۷) مقایسه مقادیر ضریب شدت تنش متوسط K_{III} برای حالت‌های مختلف در ترک 60° با طول اولیه 20mm

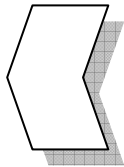
فهرست جداول

صفحه

عنوان

جدول (۱-۵) ترکیب شیمیایی آلیاژ آلمینیوم بر حسب درصد وزنی	۷۰
جدول (۲-۵) خواص مکانیکی ماده	۷۰
جدول (۳-۵) نمونه با طول ترک اولیه 20mm و زاویه 0°	۸۲
جدول (۴-۵) نمونه با طول ترک اولیه 20mm و زاویه 30°	۸۲
جدول (۵-۵) نمونه با طول ترک اولیه 20mm و زاویه 45°	۸۲
جدول (۶-۵) نمونه با طول ترک اولیه 20mm و زاویه 60°	۸۲
جدول (۷-۵) نمونه با طول ترک اولیه 10mm و زاویه 45°	۸۳
جدول (۸-۵) نمونه با طول ترک اولیه 10mm و زاویه 60°	۸۳
جدول (۱-۶): مقایسه بین جواب های نرم افزار و جواب های تحلیلی برای ضرب شدت تنش K_I	۹۴
جدول (۲-۶): مقایسه بین جواب های نرم افزار و جواب های تحلیلی برای ضرب شدت تنش K_{II}	۹۵
جدول (۳-۶): مقایسه بین جواب های نرم افزار و جواب های تحلیلی برای ضرب شدت تنش K_{III}	۹۵
جدول (۴-۶) مقایسه روش های اعمال بارگذاری	۱۰۸
جدول (۱-۷) نتایج تجربی زاویه شروع رشد ترک در حالات مختلف و درصد خطا نتایج عددی	۱۴۹

فصل اول:



مقدمہ

پدیده شکست در اجسام یکی از عمدۀ ترین مسائلی است که انسان از زمان ساختن ساده ترین ابزارها با آن مواجه بوده و بدليل پیشرفت تکنولوژی در عصر حاضر، این مساله از اهمیت بیشتری نسبت به گذشته برخوردار می باشد. آسیب های وارد شده به برخی از هواپیماها و فضایپیماها در طی دهه های گذشته، لزوم درک دقیقتری از مکانیک شکست^۱ در اجسام را در علوم جدید ایجاد می کند. علیرغم پیشرفت های چشمگیر در زمینه مکانیک شکست طی سالهای پس از جنگ جهانی دوم، ندانسته های بسیاری همچنان باقی مانده که انگیزه محققان را در ارائه تلاشهای گذشته فراهم آوردند است. در واقع گسیختگی ناگهانی بسیاری از تجهیزات و سازه های صنعتی، نه تنها عواقب جانی ناگواری را در پی دارد، بلکه ضررهای چشمگیر اقتصادی را نیز فراهم می آورد.

علت شکست در اکثر سازه ها در یکی از دو دلیل زیر نهفته است:

۱- نادیده گرفتن برخی عوامل طراحی نظیر عدم رعایت استاندارد ها و خطاهای در محاسبات، بی دقتی در ساخت و مونتاژ در کارگاه و استفاده از مواد غیر استاندارد و بالاخره عدم بازرگانی مداوم از وضعیت سازه.

۲- استفاده از مواد جدید و روش‌های طراحی نو که منجر به پدیده های غیرمنتظره می گردد.
استفاده از مواد جدید که ممکن است از استحکام بالاتر و وزن کمتر برخوردار باشند ولی بدون انجام آزمایشات مکانیکی لازم نظیر کشش، فشار، خزش و خستگی در شرایط مختلف کاری بکار گرفته شوند منجر به رفتارهای پیش بینی نشده می گردد.

رشد ترکها، از مهمترین عوامل تخریب در بسیاری از قطعات مهندسی است. سازه هایی که دچار شکست استاتیکی می شوند، معمولاً به دلیل فراتر رفتن تنش از مقاومت تسلیم ماده، مقدار زیادی تغییر شکل می دهند و به همین دلیل قابل مشاهده هستند و از قبل نسبت به وقوع شکست هشدار می دهند. اما در مورد گسیختگی خستگی هشداری وجود ندارد و در نتیجه خطرناک است. در

^۱ Fracture Mechanics

بارگذاری دینامیکی، مشاهده شده است قطعه عموماً تحت تنش هایی بسیار کمتر از حد استحکام خود و غالباً به طور ناگهانی و غیرمنتظره دچار شکست می گردد و به همین علت خسارات فراوانی نیز ایجاد می کند. از این رو پدیده خستگی^۱ اهمیت فراوانی یافت. با استفاده از مبانی مکانیک شکست و تحقیقات فراوان بر روی بارگذاری های تناوبی با دامنه ثابت^۲، مدل های کاربردی که توانایی توجیه و پیش بینی رشد ترک تحت بارگذاری با دامنه ثابت را داشته باشد، ارائه شد.

در مباحث مکانیک شکست برای بررسی شرایط مختلف بارگذاری قطعات ترکدار، میدان تنش و جابجایی در نوک ترکها به سه حالت مستقل تقسیم می شود: مود I که در آن سطوح ترک فقط نسبت به هم باز شده و جابجایی لبه های ترک، عمود بر سطح ترک اولیه است؛ مود II که در آن سطوح ترک بدون هیچ بازشدنگی، در داخل صفحه نسبت به هم می لغزند؛ و مود III که در این حالت نیز سطوح ترک بدون هیچ بازشدنگی نسبت به هم در خارج از صفحه قطعه می لغزند و جابجایی به موازات جبهه ترک می باشد. اما در عمل، مودهای خالص ترک به ندرت وجود داشته و رشد ترک به ویژه در حضور بارهای برشی، اغلب در شرایط مود ترکیبی^۳ اتفاق می افتد. مود ترکیبی هنگامی ایجاد می شود که ترک در معرض ترکیبی از دو یا سه حالت از مودهای اشاره شده فوق باشد.

از آنجا که اکثر مطالعات رشد ترک خستگی^۴ در مود I و مود ترکیبی I-II انجام شده است، اطلاعات کمتری از رشد ترک خستگی در مودهای ترکیبی دیگر در دسترس می باشد. با توجه به اینکه، امروزه آلیاژهای آلومینیوم کاربرد وسیعی در صنعت دارند مخصوصاً آلیاژهای سری ۷۰۰۰ که دارای درصد بالایی از منیزیم بوده و دارای سختی نسبتاً بالایی می باشند. این آلیاژها چون در مقابل خوردگی بسیار مقاوم هستند و در صنایع نظامی و هوافضا از آنها استفاده های زیادی می شود. موارد ذکر شده موجب شد که در این تحقیق به بررسی عددی و تجربی رشد ترک خستگی تحت مود ترکیبی I-III در ورق با ترک لبه ای از جنس آلیاژ آلومینیوم ۷۰۱۷ پرداخته شود.

¹ Fatigue

² Constant Amplitude Loading

³ Mixed Mode

⁴ Fatigue Crack Growth

پارامترهای متغیر در ورق مورد نظر، زاویه اولیه ($0, 30, 45, 60$) درجه، طول ترک اولیه 10mm و 20mm ، ضخامت نمونه (4mm و 8mm)، نسبت بارگذاری ($R=0.01$ و $R=0.2$) می باشد. تاثیر تغییر این پارامترها بر رشد ترک خستگی در حالت های مختلف در ورق به صورت کمی، مورد بررسی قرار گرفت و با نتایج آزمایشگاهی مقایسه شد.

برای برخی از حالت های فوق مسیرها و صفات رشد ترک، منحنی های مقادیر افزایش طول ترک و تغییرات زوایای ترک در زمان رشد، منحنی های ضرایب شدت تنش در هر سه مود شکست (K_I, K_{II}, K_{III}) و ضریب شدت تنش موثر (K_{eff}) در مراحل مختلف رشد و نمودارهای تعداد سیکلهای بارگذاری بر حسب تغییرات طول ترک نسبت به حالت اولیه با استفاده از نرم افزار FRANC3D بدست آمده و با نتایج تجربی بدست آمده از آزمایش مقایسه شد.

در این نرم افزار ترک به صورت مرحله ای رشد می کند. از معیارهای مختلفی که برای پیش بینی مسیر و جهت رشد ترک وجود دارد، از معیار ماکزیمم تنش مماسی استفاده شده است که دلیل آن جوابهای قابل قبولی است که این معیار ارائه می دهد.

در فصل دوم کارهای انجام شده توسط برخی محققان به همراه نتایج آنها آورده شده است.

فصل سوم شامل مبانی مکانیک شکست و خستگی می باشد. در این فصل مطالبی به منظور آشنایی با مکانیک شکست، شکست تحت مود ترکیبی و روابط آن و مدل های پیش بینی رشد ترک خستگی معرفی شده است.

در فصل چهارم معیارهای متداول رشد ترک برای مودهای ترکیبی شرح داده شده است و به بررسی دو معیار جدید برای مود ترکیبی I-III پرداخته می شود. سپس بررسی مختصه بر روی خواص مکانیکی مواد شده است.